

L^*/Y_{entrada} (absoluta)	18.0/2.5	37.3/9.7	56.7/24.6	76.1/49.9	95.4/88.6	N_0 (min.)	W_I (max.)
$w^*-l^*_CIELAB, r$ (relativa)							
w^* entrada	0,000	0,250	0,500	0,750	1,000	N_0 (min.)	W_I (max.)

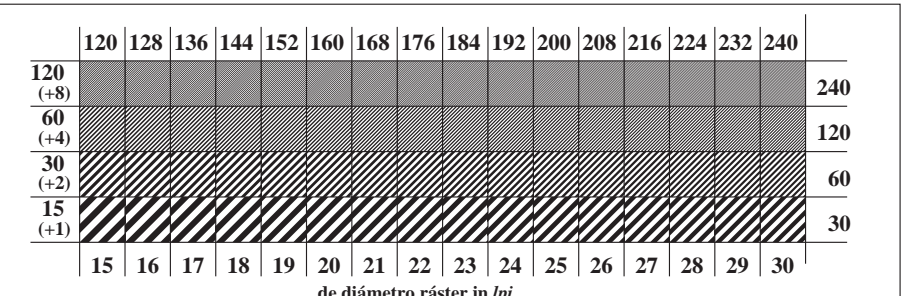
TS730-5, Fig. C2Wd: Elemento B: 5 equidistantes L^* pasos de gris + N_0 + W_I ; PS operator: *rgb/cmy0*

L^*/Y_{entrada} (absoluta)	18.0/2.5	23.2/3.8	28.3/5.6	33.5/7.8	38.6/10.5	43.8/13.7	49.0/17.6	54.1/22.1	59.3/27.3	64.4/33.3	69.6/40.2	74.8/47.9	79.9/56.5	85.1/66.2	90.2/76.8	95.4/88.6
N_0 y código Hex	00;F	01;E	02;D	03;C	04;B	05;A	06;9	07;8	08;7	09;6	10;5	11;4	12;3	13;2	14;1	15;0
$w^*-l^*_CIELAB, r$ (relativa)																
w^* entrada	0,000	0,067	0,133	0,200	0,267	0,333	0,400	0,467	0,533	0,600	0,667	0,733	0,800	0,867	0,933	1,000

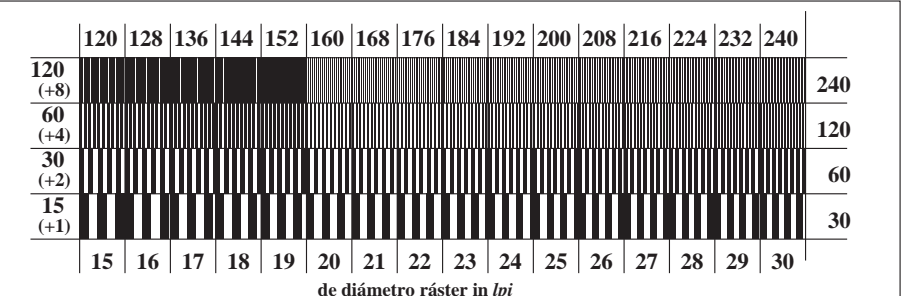
TS730-7, Fig. C3Wd: Elemento C: 16 equidistantes L^* pasos de gris; PS operator: *rgb/cmy0*

<i>paso fondo</i>	0		1 <i>paso del anillo</i>	0-1
	7		Código Hexadecimal	7-8
	E			E-F
	2			2-0
	8			8-6
	F			F-D

TS731-1, Fig. C4Wd: Elemento D: anillos de Landolt W-N; PS operator: *rgb/cmy0*



TS731-3, Fig. C5Wd: Elemento E: Trama línea menores de 45° (o 135°) grados; PS operator: *rgb/cmy0*



TS731-5, Fig. C6Wd: Elemento F: Trama línea menores de 90° (o 0°) grados; PS operator: *rgb/cmy0*

